

九州大学工学部 学生員○二瀬 了
 同 上 正員 粟谷 陽一
 同 上 正員 楠田 哲也
 同 上 正員 海田 輝之

1.はじめに 河口感潮部や港湾等の水域において、水底に堆積したり、水中に浮遊したりする微細粒子は、水流によって巻き上げ、輸送、沈降を繰り返しており、それらは、種々の水質環境問題や港湾内の航路水深の浅化、砂洲の形成といった問題ともかかわっている。従って、水流による微細粒子の挙動を明らかにし、それらの堆積位置、堆積量等の予測を可能とすることが必要である。筆者らは、シルト分が多くほとんど凝集しない粒子は、一定剪断応力下¹⁾では大粒子から徐々に沈降することを明らかにした。¹⁾そこで、本研究は、粘土分が多くフロック化の著著な試料について、同様の実験を行ない検討したものである。

2. 実験装置及び方法 実験には図-1に示す円形回転水路を用いた。水路は、リングと円形水路（深さ25cm、外径220cm、内径180cm）より構成され、両者は互に逆方向に回転できる。実験は、所定の濃度の懸濁液を充分に混合攪拌した後、所定の一定剪断応力の下で行なった。試料を経時的に水面下7cmのところから採水し、孔径0.1μmのメンブランフィルターを用いて粒径を求めた。また、浮遊状態にあるフロックの粒度分布は顕微鏡写真より求めた。フロックの沈降速度の測定には、図-2に示すようなサンプラーを用い、採取したフロックを所定の時間間隔で顕微鏡写真に撮り、その写真よりフロック径を求め、また、沈降時間と沈降距離(3mm)より沈降速度を算定した。試料としては、市販カオリイン(Engelhard ASP600)を用い、その物性値は、比重2.66、平均径0.64μm、液性限界65%、塑性限界36%であった。また、実験時の水深は15cmとし、実験はすべて、比重1.025(並塗使用)の塩水中下で行なった。なお、実験中における試料の物性変化を防ぐため、実験は室温20±1°Cの恒温室内で行なった。

3. 実験結果及び考察 図-3に、初期濃度(C_0)を2%とし、8種の一定剪断応力(τ)のときの粒の経時変化を示す。これは時間の経過と共に減少し、その減少率も次第に低下しており、最終的にはほぼ一定値(C_∞)に落ち着いている。図-4には、浮遊状態にあるフロックの体積中央粒径(d_{50})の経時変化を示した。 τ の小さいとき($0.025 N/m^2$)を除いて、実験開始より1時間までは d_{50} は増加するが、その後は殆ど減少するにもかかわらず、あまり変化していない。また、 τ が0.05%のときの実験において測定した、沈降速度とフロック径の関係の経時変化を図-5に示す。図中の直線は、粒子が分散状態にあり球形であるとして Stokes 式より求めた沈降速度を示している。時間が経過するにつれて、沈降速度が 0.02 mm/sec

より大きいものは若干減少するが、図-5に示す両者の関係の分布は、SS がかなり低下するにもかかわらず、あまり変化していない。この傾向は他の τ の場合においても見られた。また、 w/d_{50} (w : 沈降速度、

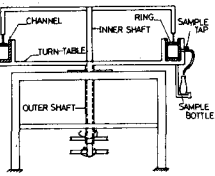


図-1. 円形回転水路

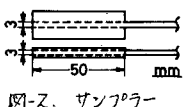


図-2. サンプラー

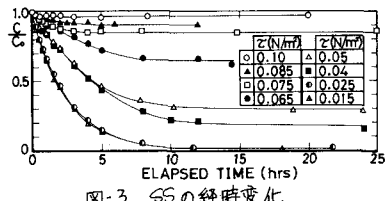


図-3. SS の経時変化

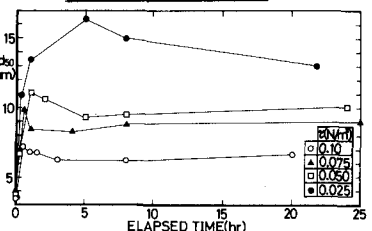


図-4. d50 の経時変化

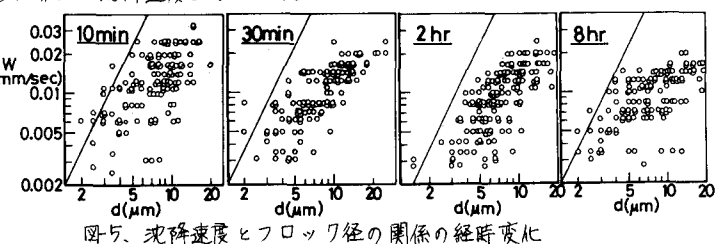


図-5. 沈降速度とフロック径の関係の経時変化

U_f : 摩擦速度) の値は、 $\tau = 0.05 \text{ N/m}^2$ 、 $\omega = 0.02 \text{ rad/sec}$ のとき、 3×10^{-3} 程度となり 1 より非常に小さくなっている。以上のことから、このような凝集性懸濁物質の濃度の減少は、フロックの沈降速度に支配されないと考えられる。

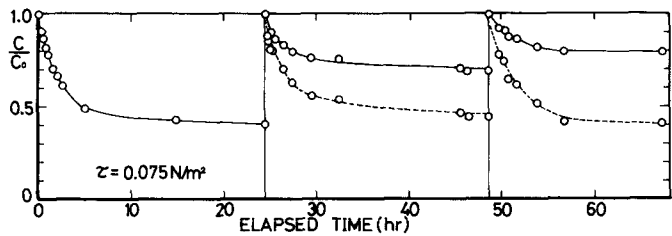


図-6. SS の経時変化

次に、 C_0 を 2 倍とし、常に剪断応力一定

($\tau = 0.05 \text{ N/m}^2$) の実験において、SS が変化しなくなった時点 t_0 、再び濃度が $2g/\text{dm}^3$ となるよう新たに試料を加えた。この操作を繰り返し、連續的に実験を行なった。このときの SS の経時変化を図-6 に示す。図中の実線は、各段階における $C_0/2$ 次元化した濃度の減少曲線であり、一方、破線は、新たに加えたものの無次元化した濃度減少曲線である。実線が示した SS の減少曲線は、段階が進むに従い、次第に緩やかになり、 C_0/C_0 の値も増加していく。一方、追加分だけを考えた場合、図中破線が示されているように、その SS の減少パターンはほとんど変わっていない。このことは、 C_0 として浮遊しているものは、次の段階でも浮遊状態を続け、追加した試料の一定比率分が前段階の C_0 の値に加算されるものと考えられる。ついで、このことは、濃度が変化しないといった状態が、巻き上げと沈降が平衡状態にあるのではなく、巻き上げも沈降も起こっていないことを示している。

最後に、時間の経過に伴ない、減少する濃度分 ($C - C_\infty$) だけに注目して、粒子及びフロックがランダムに底面に付着するものとすれば、濃度減少を表わす式は、

$$C = C_\infty + (C_0 - C_\infty) e^{-\alpha t}$$
 となる。本実験の結果を片対数紙上にプロットしたのが図-7 であり、それらは各直線上にある。微細粒子は、やすがは剪断応力が作用して、れば浮遊状態を続けるものではあるが、図-8 に示した C_0/C_0 と τ の関係より、すべての粒子が浮遊し得ないという限界剪断応力 (T_{cd}) を外挿して求め、この T_{cd} を用いて剪断応力を無次元化し、その無次元剪断応力 τ/T_{cd} の関係を、既に算出しが行なった実験結果も合わせて示したのが図-9 である。各シリーズごとに試料等の物理的値が異なり、 T_{cd} の値も違つたものと、2 つはあるが、各々の T_{cd} が無次元化することにより、 τ/T_{cd} と α との関係はかなりまとまりとなったものとなっていいる。ミニ τ 、 α の値は τ/T_{cd} の値に応じて変化しているが、これは粒子やフロックが底面に衝突する確率と、衝突しても付着し得ずとも浮遊状態を続ける確率とが、各々 τ によって変化するためと考えられる。

4. おわりに 凝集性懸濁物質の濃度減少は、フロックの沈降速度によつて支配されず、形成されたフロックが底面に達した時に、底面に付着し留まるか、あるいは付着し得ずにもそのまま浮遊状態を続けるかによつていると考えられる。しかし、そのよう付着し得ずにも浮遊状態を続ける確率といふものが物理的解釈や、 C_0 の予測について今後さらに、検討していく必要があると思われる。

なお、本研究は、文部省科学研費(一般研究)の補助を受けた。また、実験に際して協力を戴いた松永達生君に心から感謝する。

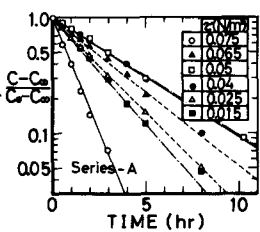


図-7. $\frac{C - C_\infty}{C_0 - C_\infty}$ と t の関係

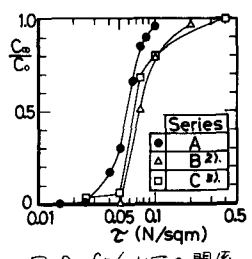


図-8. C_0/C_0 と τ の関係

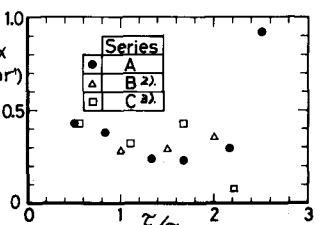


図-9. α と τ/T_{cd} の関係

参考文献

- 1) T.Kusuda et al.: Depositional Process of Fine Sediments, WATER SCIENCE TECHNOLOGY Vol.14, 1982.
- 2) 海田ら: 凝集性懸濁物質の沈降過程, 土木学会西部支部研究発表会, 1982.2, pp 159-160.
- 3) 海田ら: 底泥の巻き上げと沈降に関する基礎的研究, 第17回衛生工学研究討論会, 1981.1, pp 42-48.